

ЭЛЕКТРИЧЕСКИЕ И ФОТОЭЛЕКТРИЧЕСКИЕ СВОЙСТВА ГЕТЕРОСТРУКТУР, ПОЛУЧЕННЫХ СТРУКТУРНЫМ ПЕРЕХОДОМ $\text{Au}—p\text{-InP} \rightarrow \text{Au}—n\text{-In}_2\text{O}_3—p\text{-InP}$

М. М. Мередов, Г. Г. Ковалевская, Е. В. Руссъ, С. В. Слободчиков

Туркменский сельскохозяйственный институт им. М. И. Калинина, 744012, Ашхабад, Туркмения
(Получена 10.12.1991. Принята к печати 19.03.1992)

В результате длительной выдержки на воздухе диодов Шоттки $\text{Au}—p\text{-InP}$ выявлен структурный переход $\text{Au}—p\text{-InP} \rightarrow \text{Au}—n\text{-In}_2\text{O}_3—p\text{-InP}$. Исследования вольт-амперных характеристик этой гетероструктуры показали, что механизм токопрохождения определяется туннелированием носителей тока через ловушечные состояния. Фотоответ гетероструктур аналитически можно представить $I_{\text{фото}} = (h\nu - E_m)^m$, где $E_m = (1.4 \pm 1.6)$ эВ, а $m = 3$ и определяется внутренней фотоэмиссией из $p\text{-InP}$ в $n\text{-In}_2\text{O}_3$.

В ряде опубликованных нами ранее работ [1–3] были изложены результаты разработки и исследования электрических и фотоэлектрических свойств диодных структур металл–полупроводник, полученных нанесением тонкого слоя Au на подложки InP, как n -, так и p -типа проводимости. Эти структуры содержали тонкие промежуточные слои, улучшившие и электрические, и фотоэлектрические характеристики.

В настоящей работе изложены результаты исследований электрических свойств диодных структур на основе $p\text{-InP}$, выдержаных на воздухе в течение длительного времени (2–3 года). Эти данные показывают кардинальное изменение свойств диодов, связанное со структурным переходом $\text{Au}—p\text{-InP} \rightarrow \text{Au}—n\text{-In}_2\text{O}_3—p\text{-InP}$, и позволяют объяснить природу фотоответа во всем спектральном интервале чувствительности.

1. Эксперимент

Диодные структуры $\text{Au}—p\text{-InP}$ создавались по методике, описанной в [1]. Образцы $p\text{-InP}$ с ориентацией [100] были получены методом Чохральского и имели концентрацию носителей тока $p = 1.1 \cdot 10^{14} \text{ см}^{-3}$, удельное сопротивление $\rho = 4.5 \cdot 10^2 \text{ Ом} \cdot \text{см}$ ($T = 295 \text{ K}$), их площадь составляла $S = 0.2 \text{ см}^2$. Вольт-амперные характеристики свежеприготовленных образцов были нелинейными, но с большими токами утечки, достигавшими десятков миллиампер. Образцы обладали слабой фоточувствительностью.

После выдержки на воздухе в течение 2–3 лет образцы резко изменили свои электрические и фотоэлектрические свойства.

На рис. 1 представлены типичные вольт-амперные характеристики одного из образцов, снятые при $T = 110$ и 295 K . Как видно из рисунка, наклоны прямых ветвей при обеих температурах практически одинаковы. Обратный ток при комнатной температуре слабо изменяется с ростом напряжения, в то время как при $T = 110 \text{ K}$ лишь при низких напряжениях ($< 2 \text{ V}$) можно говорить о слабом изменении тока. При более высоких смещениях ($> 2 \text{ V}$) наблюдается экспо-

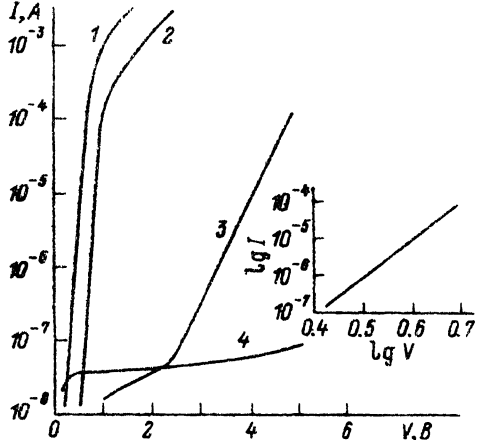


Рис. 1 Прямые (1, 2) и обратные (3, 4) вольт-амперные характеристики выдержанной диодной структуры Au—*p*-InP (структурка Au—*n*-In₂O₃—*p*-InP). Т, К: 1, 4 — 295; 2, 3 — 110. На вставке — $\lg I = f(\lg V)$ для 3.

ненциальный рост обратного тока, причем его величина существенно выше, чем при комнатной температуре.

На рис. 2 представлены спектральные кривые фотоответа образца на основе *p*-InP, снятые при тех же температурах, а также даны соответствующие кривые свежеприготовленного и выдержанного образцов Au—*n*-InP, приведенные в [4]. Характерная особенность всех выдержанных образцов — резкий рост фотоответа в коротковолновой области спектра.

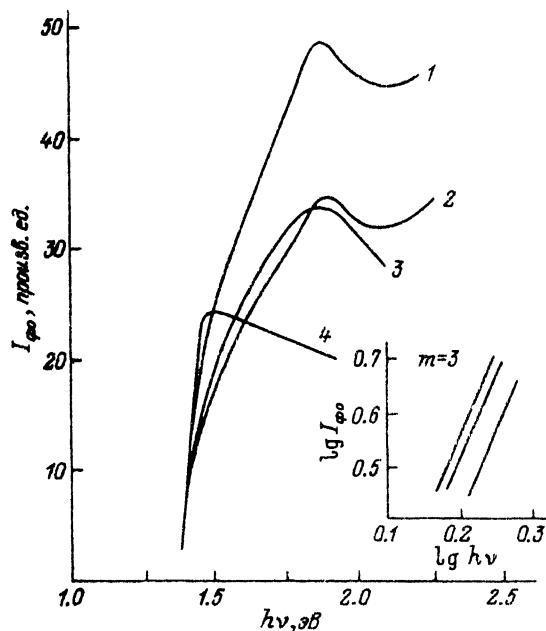


Рис. 2. Спектральная зависимость фоточувствительности диодных структур Au—InP. 1, 2 — выдержанная структура Au—*p*-InP (Au—*n*-In₂O₃—*p*-InP); Т, К: 1 — 295, 2 — 110; 3 — выдержанная структура Au—*n*-InP (Au—*n*-In₂O₃—*p*-InP) [4]; 4 — свежеприготовленный диод Шоттки Au—*p*-InP [4].

На вставке — спектральные зависимости разных образцов в логарифмических координатах.

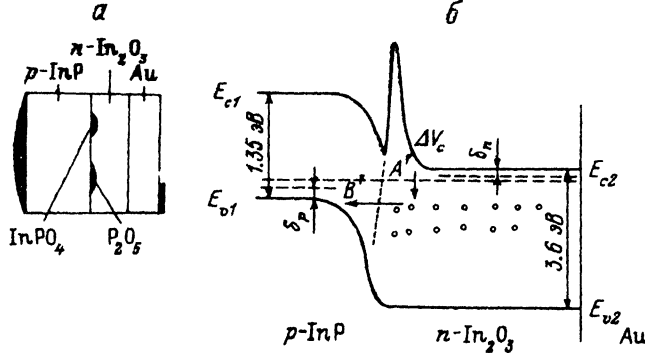


Рис. 3. Технологическая (а) и предполагаемая энергетическая (б) схемы гетероструктуры $p\text{-InP}-n\text{-In}_2\text{O}_3\text{-Au}$.

2. Обсуждение результатов

а) *Механизм образования диодных структур.* Экспериментальные данные, демонстрирующие столь резкое изменение фотоэлектрических свойств и механизма токопрохождения в изученных образцах, приводят к выводу, что в результате длительной выдержки на воздухе обычные диоды Шоттки превращаются в диодные структуры другого типа.

Образование новой диодной структуры естественно связать с созданием активного промежуточного слоя между Au и подложкой. Создание такого слоя является, на наш взгляд, результатом медленного окисления поверхности подложки вследствие диффузии кислорода воздуха либо через тонкий слой Au ($T \sim 150 \text{ \AA}$), либо через возможные микродефекты в нем.

На основе проведенных исследований поверхности фосфида индия и процессов ее окисления [5-7] можно сделать некоторые выводы как о природе промежуточного слоя, так и об образовании новой диодной структуры. По данным [6], на поверхности образуется окисел In_2O_3 , а также во влажной атмосфере могут образовываться фосфаты типа InPO_4 . Согласно [7], поверхностный слой является смесью почти равных объемов In_2O_3 и P_2O_5 . Учитывая совокупность этих данных, можно предложить технологическую схему новой диодной структуры (рис. 3, а), в которой промежуточный слой сформирован в основном из окисла In_2O_3 с малыми вкраплениями P_2O_5 и фосфата типа InPO_4 . Окисел In_2O_3 — полупроводник с предполагаемой шириной запрещенной зоны $E_g = (3.1 \pm 3.6)$ эВ [8, 9] *n*-типа проводимости; P_2O_5 — диэлектрик с предполагаемым значением запрещенной зоны $E_g \approx 8$ эВ [9]. Основываясь на этих данных, естественно считать, что новая структура представляет собой гетеропереход $p\text{-InP}-n\text{-In}_2\text{O}_3\text{-Au}$, образовавшийся либо на всей подложке, либо на большей ее части.

Энергетическая схема предполагаемой структуры изображена на рис. 3, б. Если, однако, сопоставить постоянные решетки (5.869 в InP и 10.116 \AA в In_2O_3) и коэффициенты термического расширения ($4.5 \cdot 10^{-6}/^\circ\text{C}$ в InP и $10.2 \cdot 10^{-6}/^\circ\text{C}$ в In_2O_3) с учетом к тому же неодинакового типа кристаллической структуры обоих материалов, то можно заранее считать, что эта структура весьма далека от совершенства, о чем уже отмечалось в [9]. В связи с этим механизм токопрохождения в ней не будет носить инжекционный характер, а должен определяться главным образом влиянием дефектных состояний в тонком слое In_2O_3 и на границе раздела.

б) *Вольт-амперные характеристики.* Вольт-амперные зависимости, представленные на рис. 1, подтверждают вывод о роли ловушечных состояний в переносе тока. Практически одинаковый наклон прямых ветвей при обеих тем-

пературах свидетельствует о туннельном механизме токопрохождения. Аналитически прямая ветвь туннельного тока может быть описана выражением, полученным в [10] при анализе туннелирования через ловушечное состояние в запрещенной зоне анизотипного гетероперехода Ge—GaAs. Воспользуемся этим выражением применительно к нашим структурам:

$$I_t = A \exp [-4(2m_r^*)^{1/2}q^{1/2}(V_d - K_2 V) / 3\hbar H], \quad (1)$$

где $H = (2qNa_1/\varepsilon_1)$, $A = BN_t$, B — постоянная, N_t — концентрация ловушечных центров в запрещенной зоне окисла, m_r^* — приведенная эффективная масса туннелирующего носителя,

$$qV_d = E_{g1} + \Delta V_c - \delta_p - \delta_n, \quad (2)$$

$$K_2 = \left(1 + \frac{N_{d2}\varepsilon_2}{N_{a1}\varepsilon_1} \right)^{-1}, \quad (3)$$

ε_1 и ε_2 — диэлектрические проницаемости InP и In_2O_3 соответственно.

Возможный вид туннелирования $A' \rightarrow B'$ (рис. 3, б). Оксид In_2O_3 , так же как и сплав 91% In_2O_3 + 9% SnO_2 (ITO), используемый при создании солнечных элементов на основе InP, обладает высокой проводимостью при комнатной температуре. Используя данные исследования электрических свойств In_2O_3 [8], мы оценили K_2 по (3) с $N_{a1} = 1.1 \cdot 10^{14} \text{ см}^{-3}$, $\varepsilon_1 = 11$, $N_{d2} = 3 \cdot 10^{18} \text{ см}^{-3}$, $\varepsilon_2 = 7$ [11], получив $K_2 \approx 0.57 \cdot 10^{-4}$. Из (1) следует, что

$$K_2 = \frac{3h(2N_{d2})^{1/2}\theta}{4(2m_r^*)^{1/2}\varepsilon_1^{1/2}}, \quad (4)$$

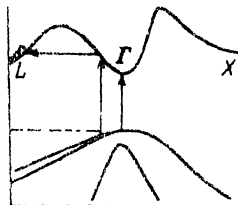
где θ — наклон прямой ветви ВАХ (рис. 1), равный 2.2 В^{-1} . Тогда из (4), использовав значение $m_r^* = 0.55 m_0$, равное эффективной массе электрона в In_2O_3 [8], получим $K_2 = 0.53 \cdot 10^{-4}$, что находится в хорошем согласии с рассчитанным выше. Отношение токов $I(T=295 \text{ K})/I(T=100 \text{ K}) \approx 10^2$. Это изменение не определяется только температурной зависимостью E_g (с $\beta = 3 \cdot 10^{-4} \text{ эВ}$), но также, согласно (2), и δ_p , и δ_n , а, кроме того, возможно, ΔV_c .

Величина туннельного барьера, как следует из наших фотоэлектрических исследований, находится в интервале $(1.4 \div 1.6) \text{ эВ}$. Тогда для $T = 295 \text{ K}$ $\delta_p = 0.27 \text{ эВ}$, $\delta_n \approx 0.04 \text{ эВ}$ и возможная величина $\Delta V_c < 0.6 \text{ эВ}$.

Обратная ветвь при низких температурах, перестроенная в функциональной зависимости $\lg I = f(\lg V)$, дает приблизительно прямую линию (см. вставку на рис. 1) с большим наклоном ≈ 10 . Некоторые образцы имели и более высокие показатели степени. В этом случае ток можно связать с зинеровским туннелированием электронов из валентной зоны InP в зону проводимости In_2O_3 аналогично случаю, рассмотренному в [10]. При этом зависимость обратного тока от напряжения

$$I = B(-V) \exp [-4(2m_r^*)^{1/2}(E_{g1} + \Delta V_c)^{3/2}/3qh(V_d - V)^{1/2}] \quad (5)$$

может быть представлена степенной зависимостью с большим показателем. Характерная черта обратных ветвей ВАХ — их своеобразная температурная зависимость. Как видно из рис. 1, обратный ток при 295 K и не слишком малых напряжениях на несколько порядков (в некоторых образцах — до четырех) меньше его значения при $T = 110 \text{ K}$. При $T = 295 \text{ K}$ наблюдается слабое увеличение тока с напряжением и туннелирование отсутствует. В некоторых образцах, однако, наблюдалась также степенная зависимость при этой температуре, но показатель



степени был существенно выше, чем при $T = 110$ К. Можно предположить, что такой температурный ход связан с увеличением токов утечки при комнатной температуре и вследствие этого с недостаточной величиной электрического поля для туннелирования.

в) *Спектральная фоточувствительность.* Переходя к обсуждению специфического хода спектральных кривых фотоответа, отметим, что пришлось, во первых, исключить возможность лавинного умножения носителей вследствие ударной ионизации в электрическом поле (внешнее напряжение не прикладывается) и, во-вторых, исключить влияние каких-либо возможных эффектов разогрева носителей светом из-за невысокой энергии квантов возбуждающего излучения. С учетом того, что кривые фотоответа имеют некоторое сходство со спектральными кривыми фотоэмиссии из полупроводниковых кристаллов [12], была проверена зависимость

$$I_{\phi} \sim (h\nu - E_m)^m \quad (6)$$

для ряда как анизотипных, так и изотипных гетероструктур (см. вставку на рис. 2). Наклон прямых соответствует $m = 3$, а пороговое значение фотоответа $E_m = (1.4 \div 1.6)$ эВ.

Как известно, фотоэмиссия из металла в полупроводник соответствует квадратичная зависимость фотоответа от энергии квантов. Обнаруженная в нашем случае кубическая зависимость позволяет предположить наличие механизма внутренней фотоэмиссии из полупроводника InP в слой In_2O_3 .

Фотоэмиссия с чистой поверхности InP в вакуум, показывая степенную зависимость фототока с $m = 3$, дает, однако, высокую величину порога $E_m = 5.68$ эВ [13]. Следовательно, в образовавшейся новой диодной структуре (рис. 3, а) резко снижается порог фотоэмиссии из InP в слой $n-In_2O_3$. Процесс внутренней фотоэмиссии из полупроводника в диэлектрик изучался в [14], где найдено было относительное уменьшение E_m , хотя и не столь значительное.

Поскольку наши экспериментальные результаты показывают практически одинаковый порог как для n -InP, так и для p -InP, это свидетельствует, что он определяется барьером на границе InP и $n-In_2O_3$ (рис. 3, б).

Отмеченный выше более высокий фотоответ на структурах с p -InP, возможно, связан как с разной активной площадью эмиссий в обоих случаях, так и с различным механизмом рассеяния фотонами возбужденных носителей, подходящих к границе раздела.

Характерно, что при изучении внутренней фотоэмиссии на анодированной поверхности InSb, имевшей окисел In_2O_3 [15], было также найдено, что порог составляет 1.6 эВ.

Максимум фотоответа при $h\nu = 1.92$ эВ отражает термализацию электронов, эмиттируемых в вышележащий минимум зоны проводимости (рис. 4); его энергетическое положение, согласно [16], $E_v - E_L = 1.95$ эВ. Ход спектральных кривых соответствует ожидаемому из аналитического выражения для квантового выхода

$$I_{\phi} \sim \frac{A_1 B_1}{1 + 1/\alpha d}.$$

Квантовый выход в спектральном интервале $(1.45 \div 1.90)$ эВ растет, так как глубина выхода d благодаря низкому порогу фотоэмиссии велика и превышает глубину возбуждения $1/\alpha$; при более высоких энергиях квантов I_{ϕ} падает в

структурах с *n*-InP из-за больших потерь энергии при рассеянии в тонком слое на использованных образцах. В *p*-InP с малой концентрацией дырок эти потери существенно меньше.

СПИСОК ЛИТЕРАТУРЫ

- [1] Г. Г. Ковалевская, Е. В. Руссу, С. В. Слободчиков, Г. М. Филаретова. ФТП, 16, 587 (1982).
- [2] Г. Г. Ковалевская, Е. В. Руссу, С. В. Слободчиков, В. Г. Смирнова, В. М. Фетисова, Г. М. Филаретова. ФТП, 18, 600 (1984).
- [3] Г. Г. Ковалевская, С. В. Слободчиков, Г. М. Филаретова. ФТП, 17, 1991 (1983).
- [4] Г. Г. Ковалевская, Е. В. Руссу, С. В. Слободчиков, Г. М. Филаретова. Тез. докл. II Всес. конф. «Физические основы надежности и деградации полупроводниковых приборов», 67. Кишинев (1986).
- [5] D. H. Laughlin, C. M. Wilmsen. Appl. Phys. Lett., 37, 915 (1980).
- [6] K. M. Geib, C. M. Wilmsen. J. Vac. Sci. Techn., 17, 952 (1980).
- [7] J. F. Wager, D. L. Ellsworth, S. M. Goodnick, C. M. Wilmsen. J. Vac. Sci. Techn., 19, 513 (1981).
- [8] R. L. Weiher. J. Appl. Phys., 33, 2834 (1962).
- [9] R. Singh, J. Shewchun. J. Appl. Phys., 49, 4588 (1978).
- [10] A. R. Riben, D. L. Feucht. Sol. St. Electron., 9, 1055 (1966).
- [11] G. G. Roberts, K. P. Pande. J. Phys. D: Appl. Phys., 10, 1323 (1977).
- [12] Ж. Панков. Оптические процессы в полупроводниках, 456. М. (1973).
- [13] G. W. Gobeli, F. G. Allen. Semicond. Semimet., 2, 263. N. Y. (1966).
- [14] R. Williams. Phys. Rev. A, 140, 569 (1965).
- [15] D. L. Lile. Surf. Sci., 34, 337 (1973).
- [16] L. W. James, J. P. Van Dyke, F. Herman. Phys. Rev. B, 1, 3998 (1970).

Редактор Л. В. Шаронова
